

川井モデルによる平板曲げの解析

吳工業高等専門学校 正員 ○ 藤田幸史
" " 小堀慈久

§1 まえがき

有限要素法における平板曲げ解析は従来からよく行われている。そしてそこでは三角形分割要素を弾性体とみなして要素剛性マトリックスを求めたが、川井によって導かれた川井モデルにおいては、三角形要素を剛体とみなし、板の変形は要素間の辺にバネを施したものとして要素剛性マトリックスを求めるものである。この解析法によりあらかじめ予想される構造物のひびわれ破壊等の解析に適用される。本報告ではこのモデルにより平板曲げの変位等を得た事とこの解法の問題点についても述べるものである。

§2 要素剛性マトリックス

平板曲げの要素剛性マトリックスを求めるのに基本となるのは図-1の2つの三角形要素の組である。荷重をかけたとき平面Aの方程式は

$$l_A x + M_A y + m_A z = P_A \quad (1)$$

とする。ここで l_A, M_A, m_A は平面Aの方向余弦である。 P_A は原点から平面Aへの垂線の長さである。各頂点の座標を ①; (x_0, y_0) , ②; (x_1, y_1) , ③; (x_2, y_2) , 变位を w_0, w_1, w_2 とすると

$$\begin{aligned} l_A x_0 + M_A y_0 + m_A z_0 &= P_A \\ l_A x_1 + M_A y_1 + m_A z_1 &= P_A \\ l_A x_2 + M_A y_2 + m_A z_2 &= P_A \end{aligned} \quad (2)$$

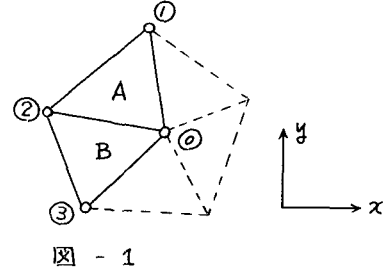


図 - 1

$$(2) \text{ より } l_A = \pm \frac{\Delta_{11}}{\sqrt{\Delta_{11}^2 + \Delta_{12}^2 + \Delta_{10}^2}}, M_A = \pm \frac{\Delta_{12}}{\sqrt{\Delta_{11}^2 + \Delta_{12}^2 + \Delta_{10}^2}}, m_A = \pm \frac{\Delta_{10}}{\sqrt{\Delta_{11}^2 + \Delta_{12}^2 + \Delta_{10}^2}}, P_A = \pm \frac{x_0 \Delta_{11} + y_0 \Delta_{12} + w_0 \Delta_{10}}{\sqrt{\Delta_{11}^2 + \Delta_{12}^2 + \Delta_{10}^2}} \quad (3)$$

$$\text{同様に } B \text{ の方向余弦 } l_B, M_B, m_B \text{ が求まる。次に平面 } A \text{ と平面 } B \text{ の回転角を } \theta_{AB} \text{ とする} \quad \cos \theta_{AB} = l_A l_B + M_A M_B + m_A m_B \quad (4)$$

$$\theta_{AB} \text{ が十分に小さいとすると } \cos \theta_{AB} = 1 - \frac{\theta_{AB}^2}{2} \quad (5)$$

$$(3) \text{ より } l_B, M_B, m_B, P_B \text{ (4), (5) より } \frac{\theta_{AB}^2}{2} = -\frac{1}{\Delta_{10} \Delta_{20}} (\Delta_{11} \Delta_{21} + \Delta_{12} \Delta_{22}) + \frac{1}{2 \Delta_{10}^2} (\Delta_{11}^2 + \Delta_{12}^2) + \frac{1}{2 \Delta_{20}^2} (\Delta_{21}^2 + \Delta_{22}^2) \quad (6)$$

$$\text{接続バネの歪エネルギーは } V(W) = \frac{1}{2} k_{AB} \theta_{AB}^2 = \left[-\frac{1}{\Delta_{10} \Delta_{20}} (\Delta_{11} \Delta_{21} + \Delta_{12} \Delta_{22}) + \frac{1}{2 \Delta_{10}^2} (\Delta_{11}^2 + \Delta_{12}^2) + \frac{1}{2 \Delta_{20}^2} (\Delta_{21}^2 + \Delta_{22}^2) \right] k_{AB} \quad (7)$$

$$\text{ただし } W^T = [w_0, w_1, w_2, w_3] \text{ でカステリヤーの定理によると (7) より } R = \frac{\partial V}{\partial W} = KW \quad (8)$$

となり この K は表-1に示される。

表 - 1 剛性マトリックス

	w_0	w_1	w_2	w_3	$\times \frac{k_{AB}}{\Delta_{10} \Delta_{20}}$
Z_0	$\frac{\Delta_{20}}{\Delta_{10}} (y_{12}^2 + z_{12}^2) + \frac{\Delta_{10}}{\Delta_{20}} (y_{21}^2 + z_{21}^2)$ $-2(y_{12} y_{21} + z_{12} z_{21})$	$\frac{\Delta_{20}}{\Delta_{10}} (y_{12} y_{20} + z_{12} z_{20})$ $-2(y_{23} y_{20} + z_{23} z_{20})$	$\frac{\Delta_{20}}{\Delta_{10}} (y_{12} y_{01} + z_{12} z_{01})$ $+ \frac{\Delta_{10}}{\Delta_{20}} (y_{23} y_{20} + z_{23} z_{20})$ $-(y_{12} y_{23} + z_{12} z_{23})$	$\frac{\Delta_{10}}{\Delta_{20}} (y_{23} y_{02} + z_{23} z_{02})$ $-(y_{12} y_{02} + z_{12} z_{02})$	
Z_1		$\frac{\Delta_{20}}{\Delta_{10}} (y_{20}^2 + z_{20}^2)$	$\frac{\Delta_{20}}{\Delta_{10}} (y_{20} y_{01} + z_{20} z_{01})$ $-(y_{20} y_{30} + z_{20} z_{30})$	$y_{20}^2 + z_{20}^2$	
Z_2	S, Y, M		$\frac{\Delta_{20}}{\Delta_{10}} (y_{01}^2 + z_{01}^2) + \frac{\Delta_{10}}{\Delta_{20}} (y_{30}^2 + z_{30}^2)$ $-2(y_{01} y_{30} + z_{01} z_{30})$	$\frac{\Delta_{10}}{\Delta_{20}} (y_{30} y_{02} + z_{30} z_{02})$ $-(y_{01} y_{02} + z_{01} z_{02})$	
Z_3				$\frac{\Delta_{10}}{\Delta_{20}} (y_{20}^2 + z_{20}^2)$	

次にベキ定数を定めると、図-2において辺①, ②に垂直な方向の曲率は垂直な方向に座標 S をとつて次のようにならわす。

$$r = \frac{\partial^2 w}{\partial S^2} = -\frac{2\Theta_{AB}}{f_1 + f_2} \quad (9)$$

平面曲げの変位と歪の関係、応力と歪の関係により応力(σ_x, σ_y , τ_{xy})を求める。図-3で単位長さ当たりの曲げモーメント、ねじりモーメントの成分をそれぞれ M_x, M_y, M_{xy} とし、又板厚を t としモーメントを図示する方向を正とすると

$$\begin{aligned}
 M_x &= \int_{-\frac{1}{2}h}^{\frac{1}{2}h} \sum G_x dz = -D \left(\frac{\partial^2 w}{\partial x^2} + \nu \frac{\partial^2 w}{\partial y^2} \right) \\
 M_y &= \int_{-\frac{1}{2}h}^{\frac{1}{2}h} \sum G_y dz = -D \left(\frac{\partial^2 w}{\partial y^2} + \nu \frac{\partial^2 w}{\partial x^2} \right) \\
 M_{xy} &= - \int_{-\frac{1}{2}h}^{\frac{1}{2}h} \sum T_{xy} dz = D(1-\nu) \frac{\partial^2 w}{\partial x \partial y}
 \end{aligned} \tag{10}$$

ここで、平板の曲げ剛性 D は次のように表わされる。

$$D = \frac{E \bar{h}^3}{12(1-\mu^2)} \quad (11)$$

図-2のABCDEFに対して(10)式の式1式でxをS方向にとり $\frac{\partial^2 \omega}{\partial x^2}$ を無視し大きさだけを考えると

$$M = M_s \ell = D\ell \frac{\partial^z w}{\partial S^z} \quad (12)$$

となり(9)と(12)とよ)

$$M = Dl \frac{z_{AB}}{R_1 + R_2} \quad (13)$$

となる。図-2の要素のバネ定数を k_{AB} とすると、
 となり、(13) (14)より k_{AB} は次のようになる。

$$k_B = \frac{2Dl}{h_1 + h_2}$$

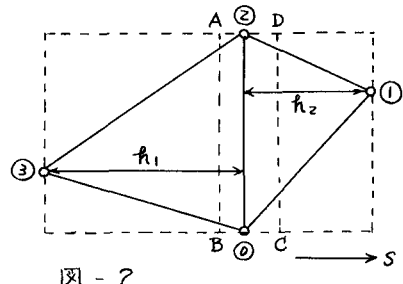


图 - 2

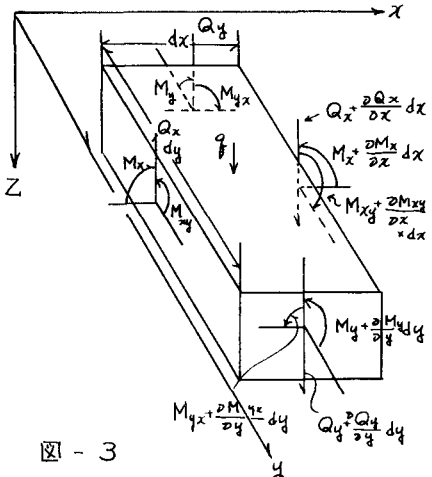


圖 - 3

(14)

§3 平板曲げの計算例

一端固定の片持ちばかりの場合とし、板厚は単位長さとする。図-4のやうな場合 図-5のように境界線Y軸に對し、対称な真2、モルタルをつけて加え、その真の変位を θ として新しい要素を作ればよい。この一端固定の片持ちばかりの問題に対してもゆる曲げ問題として解いて、 $\frac{d^2\theta}{dx^2} = \frac{M}{EI}$ を用いると $\theta = \frac{Mx^3}{3EI}$ によって得た理論変位量と川井モデルによるF.E.M解とはほぼ一致したものが得られた。尚計算結果の詳細は発表日止する。

卷四 記言

理論解と川井モデルによるFEM解においてほぼ一致したものが得られ、またアシン比の考慮がないために分割方法や要素数において相違があるのは今後の課題として、努力についてもさらに検討したい。最後に御指導を賜った、日大戸川教授に対し謝意を表します。

〈参考文献〉

- 1) KAWAI, KONDÔ; New Beam and Plate Bending Elements in Finite Element Analysis, Inst. of Industrial Science, Vol. 28.9, 1976
 - 2) KAWAI, TOI; A New Element in Discrete Analysis of Plane Strain Problems, Inst. of Industrial Science, Vol. 29.4, 1977
 - 3) 木下原; 平板板中立理論篇: 23-3-4号機構造工法講座 II-5-A
日本鋼構造協会編, 増刷官能
 - 4) 木下原; Fortran I(手引書類要法入門), サイエンス社

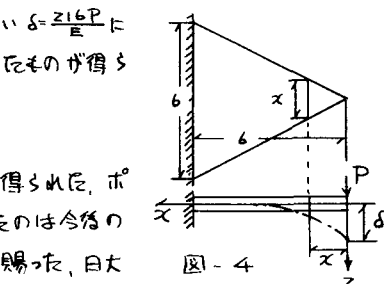
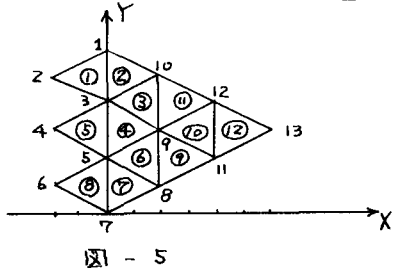


图 - 4



四 - 5